

代码文件说明:

'simplespin1.m' simple-spin flip 随机模拟方法的代码

'wolff2.m', 'wolff3.m', 'wolff4.m', 三种不同写法实现的 wolff 算法随机模拟代码

## 1. 算法的解释与选择: 对比 simple-spin flip 的随机模拟结果和 3 种 wolff 算法的模拟结果

基本假设: 玻尔兹曼常数  $k_B = 1$ , 交换耦合能  $J=1$ ,  $T$  取  $[0,5]$ , 步长 0.01, 初始状态取自旋全部向上的铁磁态, warmup 和 measure 次数根据每次运行时间长短进行调整, 使得总体运行时间在可控范围内 (基本不超过两小时), 用马尔科夫-蒙特卡洛随机模拟  $L=64$  的二维伊辛模型, 最终导出每个温度下 measure 次平均磁化强度  $M$ , 磁化率  $\chi$ , 平均总能量  $E$ 。其中磁化强度  $M$ 、平均总能量  $E$  均指对于系统最大值的相对值, 磁化率  $\chi = \frac{\langle M^2 \rangle - \langle M \rangle^2}{k_B T}$ , 衡量系统涨落幅度。

下面对 4 种算法的核心部分进行解释, 并展示结果和分析

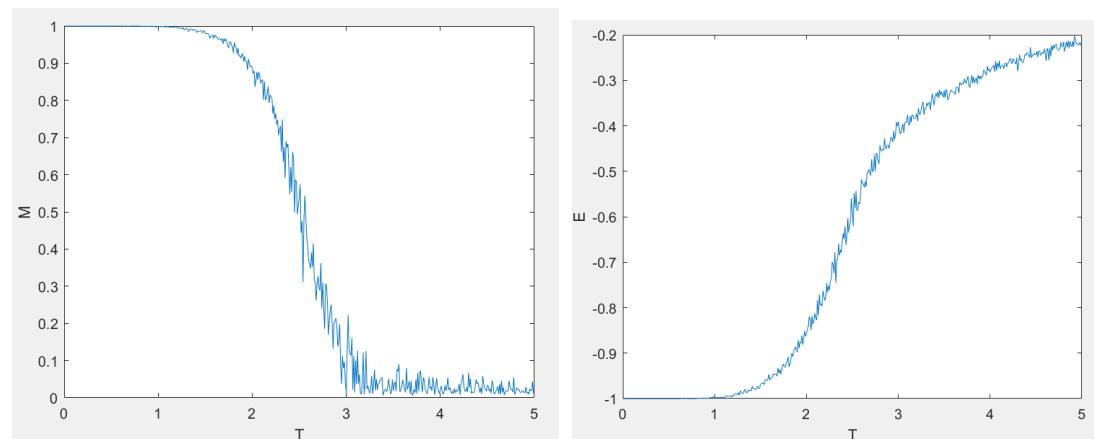
### ① simplespin1

对于每一次迭代

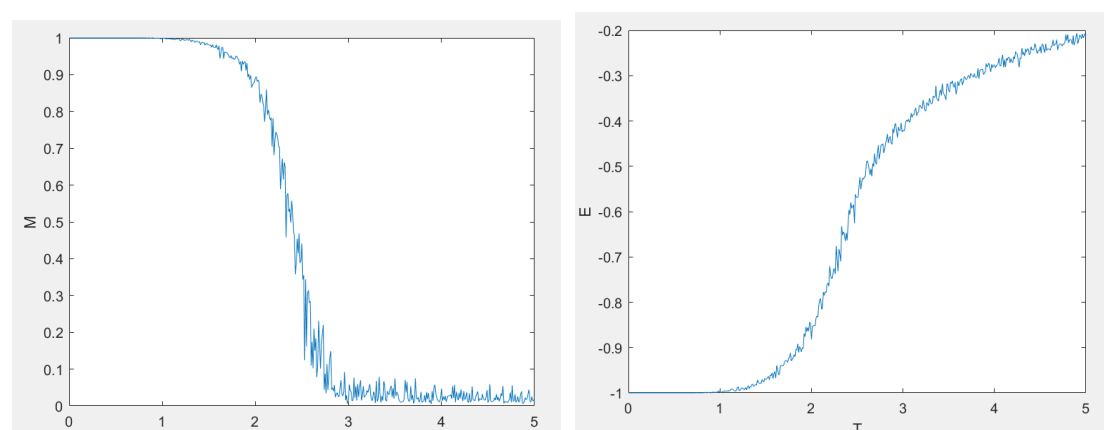
1. 随机选取一个点
2. 对该点上下左右四个点的自旋态进行判定, 计算该点与相邻点的作用能, 记为  $e_i$
3. 计算该点翻转后与相邻点的作用能, 记为  $e_j$ ,  $de = e_j - e_i$
4. 如果  $de < 0$ , 则翻转该点, 如果  $de > 0$ , 则有  $p = e^{\beta * de}$  概率翻转

结果如下:

warmup=100000, measure=10000, 耗时 20min



warmup=200000, measure=10000, 耗时 30min



分析:

1. 由于 simple-spin flip 算法每次最多只改变一个电子的自旋, 因此对于数量不够充分大的 measure 次数, 它们的终态可能相差并不算太大, 因此每个温度下平均的  $M$  与  $E$  也具有较大的波动
2. 随着 warmup 次数的增加, 末态随温度由铁磁态转变为非铁磁态的过程加快, 即更像是随着温度增加而突变而非渐变了, 直观表述就是  $M$ - $T$  图像中下降的那部分变得更陡了, 但由于 warmup 次数不能无穷大, simple-spin flip 算法对于临界温度  $T_c$  的判断是很难达到准确的
3. 正如 1 中提到的, simple-spin flip 算法所 measure 的终态相差不会太大, 因此测得的磁化率  $\chi$  不具备太大参考价值, 进一步探讨还需要用 wolff 算法

## ② wolff2

核心代码及解释如图

```
for i = 1:warm
    x = randi(1);
    y = randi(1);
    % 随机选点
    cluster = [x,y];
    % cluster: 所有要翻转点坐标
    new = [x,y];
    % new: 上一轮加入cluster的点坐标
    newn = 1;
    % newn: 上一轮加入cluster的点个数
    mm = zeros(1);
    mm(x,y) = 1;
    % mm: cluster的图
    while newn > 0
        neww = [];
        % neww: 这一轮加入cluster的点坐标
        for j = 1:newn
            % 对于每一个上一轮加入的坐标, 判定上下左右四个邻居
            if new(j,1)+1 <= 1
                % 判定邻居是否超出边界
                if mm(new(j,1)+1,new(j,2)) == 0
                    % 判定邻居是否已经在cluster里
                    if m(new(j,1)+1,new(j,2)) == m(new(j,1),new(j,2))
                        % 判定邻居是否与本身自旋相同
                        if rand(1) < p
                            % 取P_add概率
                            neww = [neww;new(j,1)+1,new(j,2)];
                            % 将邻居坐标加入neww
                            mm(new(j,1)+1,new(j,2)) = 1;
                            % 更新cluster的图
                        end
                    end
                end
            end
        end
        new = neww;
        cluster = [cluster;neww];
        if isempty(neww) == 0
            newn = length(neww(:,1));
        else
            newn = 0;
        end
        % 更新new, cluster, newn
    end

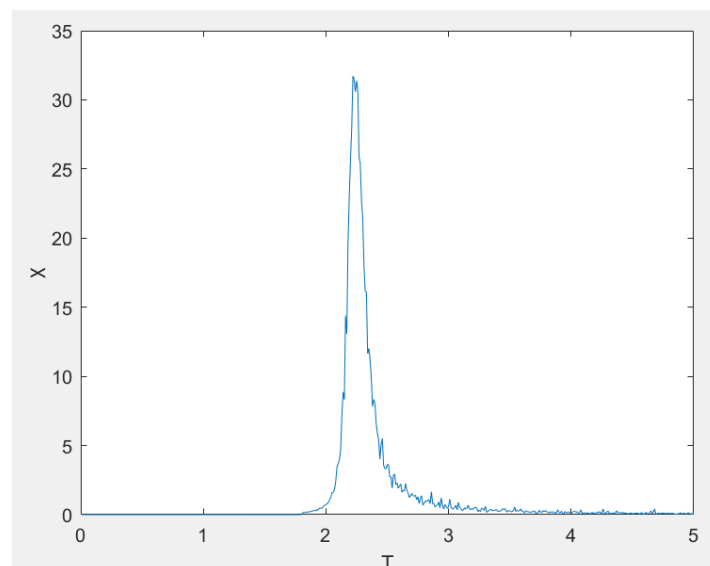
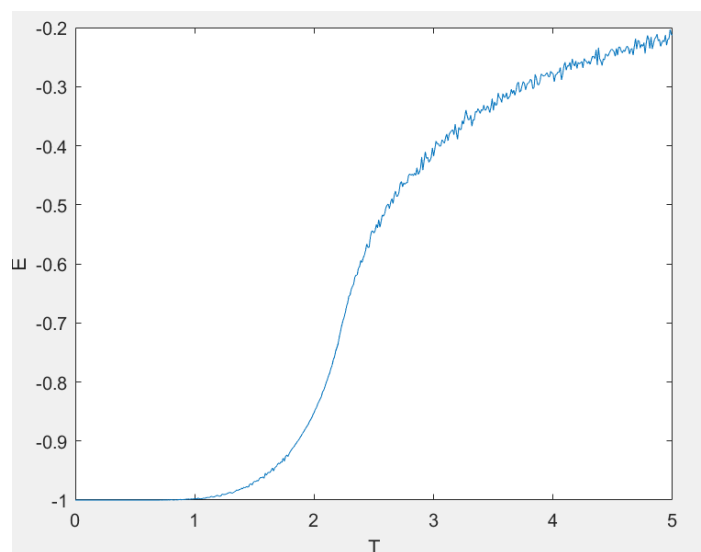
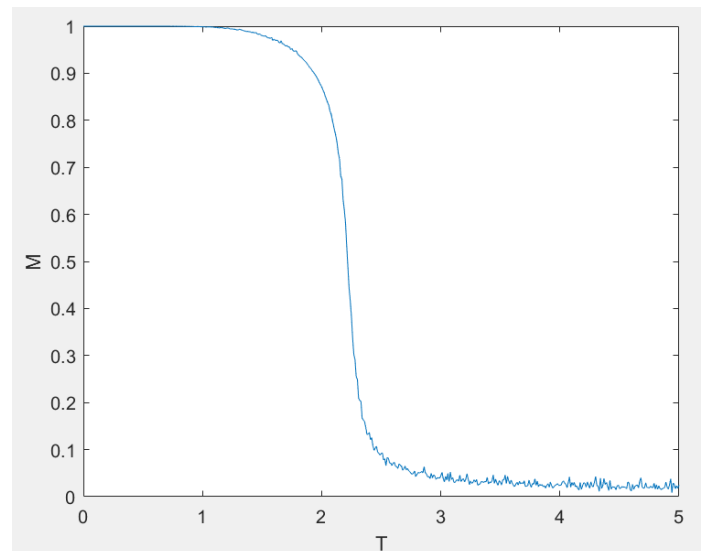
    for k = 1:length(cluster(:,1))
        m(cluster(k,1),cluster(k,2)) = 1 - m(cluster(k,1),cluster(k,2));
        % 翻转cluster中每一个坐标对应的点
    end
end
```

tips:

由于在低温状态下,  $p_{add}$  趋近于 1, 铁磁态所有自旋又几乎都相同, 因此每次迭代的 cluster 都几乎会扩张到整个模型的大小, 非常耗费运行时间, 可以适当减少 warmup 和 measure 次数。而高温状态下则反之, 每次迭代的 cluster 都很小, 但却需要很多次迭代才能从铁磁态转变为非铁磁态, 应适当增加 warmup 次数。

结果如下:

运行时间 50 分钟



除高温状态下略有波动外结果良好, 可以明显地看出,  $M$ 、 $E$  的导数最大处,  $\chi$  的最大值处都在约  $T=2.27$  处 (实际由于尺寸有限, 比真实临界温度略小)

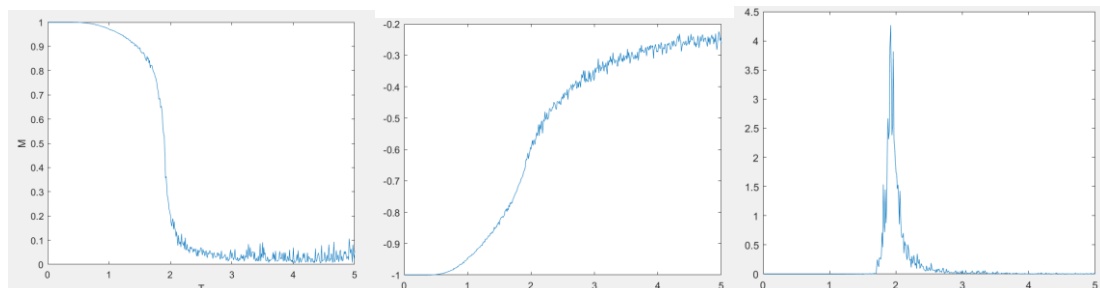
### ③ wolff3 (失败)

由于在 wolff2 中，循环较大，运算速度不是特别理想，因此试图在 wolff2 的基础上进行改进，将其循环以矩阵形式计算。通过先将整个 cluster 的自旋相同边界判断出来，再用一个  $L \times L$  的随机数矩阵判定出来是否要将边界加入 cluster

核心代码及解释如图

```
for i = 1:warm
    x = randi(1);
    y = randi(1);
    % 随机取点
    m1 = zeros(1);
    m2 = zeros(1);
    m1(x,y) = 1;
    % m1为cluster里所有点的图
    m2(x,y) = 1;
    % m2为上一轮加入的点的图
    len = 1;
    % len: 上一轮加入点个数
    while len>0
        m3 = zeros(1);
        for j = 1:len
            % 对于每个上一轮加入点，判定上下左右四个邻居
            if x(j)+1 <= 1
                % 判定邻居是否超出边界
                if m(x(j),y(j)) == m(x(j)+1,y(j))
                    % 判定邻居是否与本身自旋相同
                    m3(x(j)+1,y(j)) = 1;
                    % 将邻居点画到图m3中
                end
            end
        end
        ...
        m4 = m3 - m1 - rand(1)/p;
        % 图m4为m3(这一轮新加入所有邻居，可能包含这一轮前就有的点)减去m1(这一轮前的点)减去在[0, 1/p]区间随机矩阵
        m4(m4 > 0) = 1;
        m4(m4 <= 0) = 0;
        % 如果m4>0则保留此邻居，反之则不保留，得到的就是这一轮要加入cluster的点
        m2 = m4;
        % 更新上一轮加入点的图
        [x,y] = find(m2==1);
        len = length(x);
        % 查找上一轮加入点的坐标并计算个数
        m1 = m4 + m1;
        % 更新整个cluster的图
    end
    m = m1-m;
    m(m == -1) = 1;
    % 将cluster的图减去原图再取绝对值，使得cluster内的点0,1互换
end
```

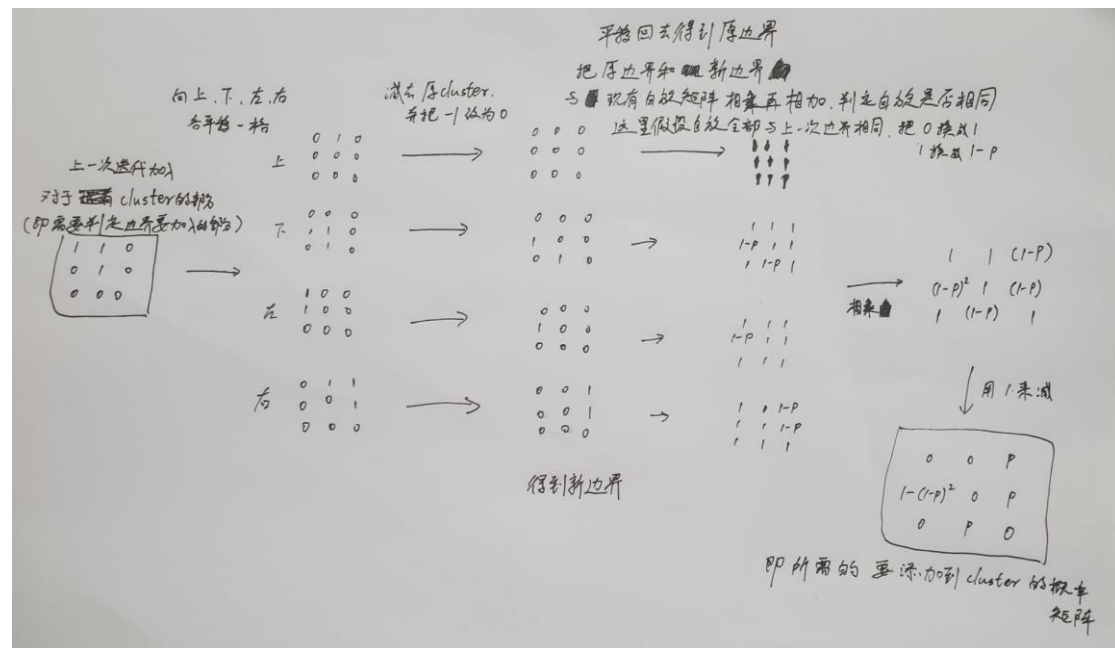
结果如下: (运行时间 10 分钟)



发现，在  $T=2$  的时候末态就从铁磁态转化为了非铁磁态，与实际情况的  $T_c = 2.27$  不符，想了很久终于发现原因：对于一个同时与多个 cluster 内电子相邻的电子(即 cluster 呈 L 形或 U 形时的边界)，正常 wolff 算法对这个电子应该判定多次决定是否加入 cluster，而我的 wolff2 算法里只判定了一次。在此基础上改进出了完全矩阵化的算法 wolff4，正是这个概率的不同导致了临界温度的错误和所需迭代次数的增加

#### ④ wolff4

对于新加入 cluster 的判定完全使用矩阵而非循环的方法。对于上一次加入到 cluster 的需要再判断其边界是否要加入的部分，通过矩阵的平移和加减得到其上下左右边界的矩阵，判定自旋是否相同后将可能加入的点设为  $1-p$ ，不会加入的点设为 1，把上下左右边界矩阵点乘起来再用 1 减，即是要添加到 cluster 的概率矩阵，再生成一个  $L \times L$  的随机数矩阵判定示例如下



代码如下

```
for i = 1:warn
    m0 = m;
    m0(m0 == 0) = -1;
    % m0: 原图转为1与-1的图
    x = randi(1);
    y = randi(1);
    % 随机取点
    m1 = zeros(1);
    m2 = zeros(1);
    m1(x, y) = 1;
    % m1为cluster里所有点的图
    m2(x, y) = 1;
    % m2为上一轮加入的点的图
    is = 1;
    % is: 上一轮是否有新点加入
    while is == 1
        mm1 = [m2(2:end, :); zeros(1, 1)];
        % 将上一轮新加入的点的图向上下左右平移一格
        mm1 = mm1 - m1;
        mm1(mm1 == -1) = 0;
        % mm1: 平移后边界图
        mm11 = [zeros(1, 1); mm1(1:end-1, :)];

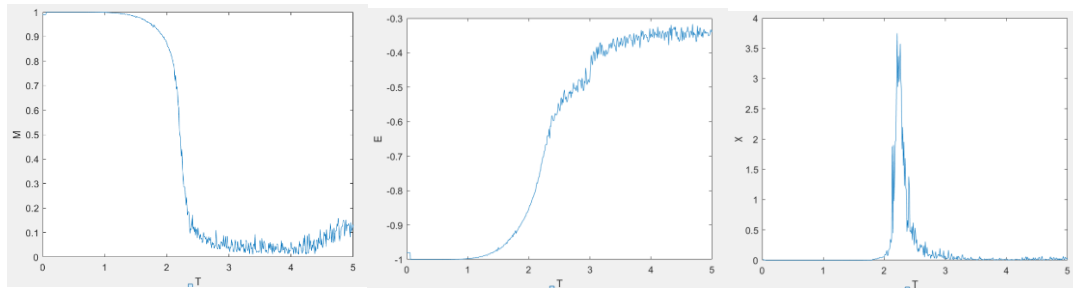
        % mm11: 平移前边界图
        mm1 = mm1 .* m0;
        mm11 = mm11 .* m0;
        % 将前后边界转化为1, -1的边界(表示自旋)
        mm111 = [mm11(2:end, :); zeros(1, 1)];
        % 将带有自旋信息的平移前边界再次平移
        mm1 = mm1 + mm111;
        mm1(mm1 == 2) = q;
        mm1(mm1 == -2) = q;
        mm1(mm1 == 0) = 1;
        % 将2和-2(平移前后自旋相同)转为1-p, 将0转为1
```

...

```
m3 = ones(1) - (mm1 .* mm2 .* mm3 .* mm4);  
% m3为新加入点的概率图  
m4 = m3 - rand(1);  
m4(m4 > 0) = 1;  
m4(m4 <= 0) = 0;  
% m4为新加入点图  
m2 = m4;  
% 更新上一轮加入点的图  
m1 = m1 + m4;  
% 更新整个cluster的图  
is = ismember(1,m4);  
% 判定是否存在新加入点  
end  
m = m1-m;  
m(m == -1) = 1;  
% 将cluster的图减去原图再取绝对值, 使得cluster内的点0,1互换  
end
```

实际结果表明, 其运行速度不如算法 wolff2, 可能是由于矩阵操作太多导致的。(至少在这个问题里, 矩阵化后的速度不如做循环)

不过结果还是对的, (由于速度过慢, 设置 measure 次数较少, 高温状况波动严重) 运行时间 30 分钟

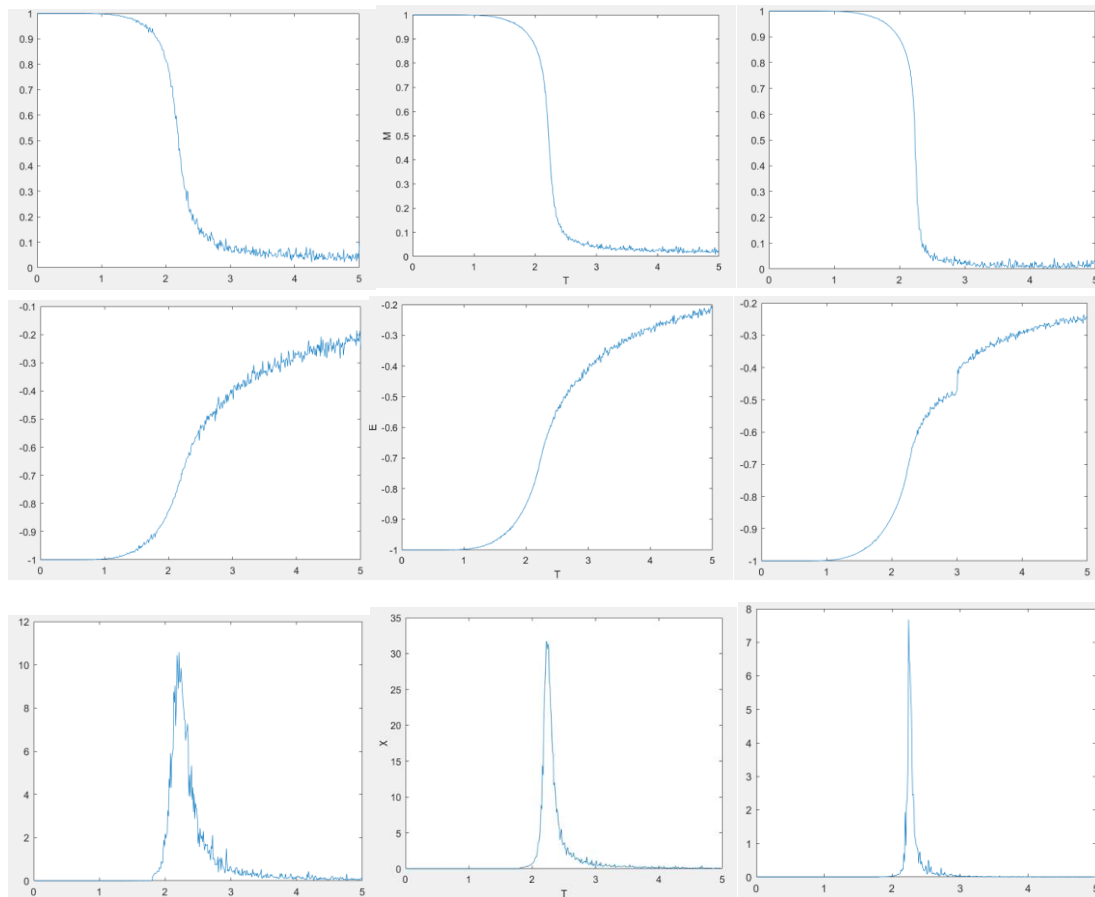


综上, 实际结果表明, wolff2 是四个算法中性能最优良的一个, 之后的探讨也会

基于 wolff2 的结果来进行

采用 wolff2 算法，对 32\*32, 64\*64, 128\*128 的模型分别计算，结果如下：

（从左到右依次是 32\*32, 64\*64, 128\*128，运行时间分别为 3min,50min,90min 从上到下依次是平均磁化强度  $M$ ，平均总能量  $E$ ，磁化率  $\chi$ ）



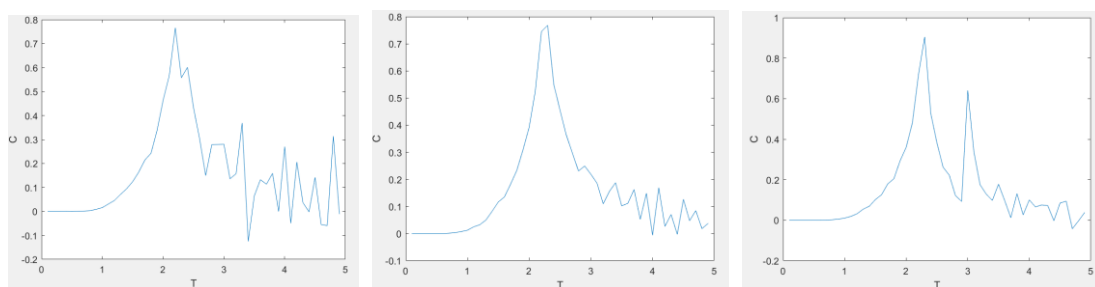
可以看到，随着模型尺寸的增大，磁化强度更容易趋近于 0，高温状态下的能量更难趋近于 0，波动变小（说明尺寸大的模型在高温状态末态还可能存一定成块的现象，虽然总磁化强度趋于 0，但不是完全杂乱无章），磁化率峰宽变窄，（说明尺寸大的模型在临界温度时突变更陡）

注意到在 128\*128 的  $T=3$  处平均总能量  $E$  发生突变，是因为我在  $T=3$  处增大了 warmup 次数，反过来说明在那张图  $T=3$  的前一截，warmup 是不够充分的

把  $E$  的结果每 10 个一组求平均，然后求差值，即每个步长下  $E$  随  $T$  的变化值，即可估测出

$$\text{热容 } C = \frac{\partial E}{\partial T}$$

从左到右依次是 32\*32, 64\*64, 128\*128 的热容



由于步长取得较大，也没有做函数拟合，因此波动较大，（ $L=128$  的第二个峰是因为上面提到的 warmup 次数不足导致的）不过还是可以很清晰的得出热容最大点，即真实临界温度位于  $2.27 \pm 0.02$  处

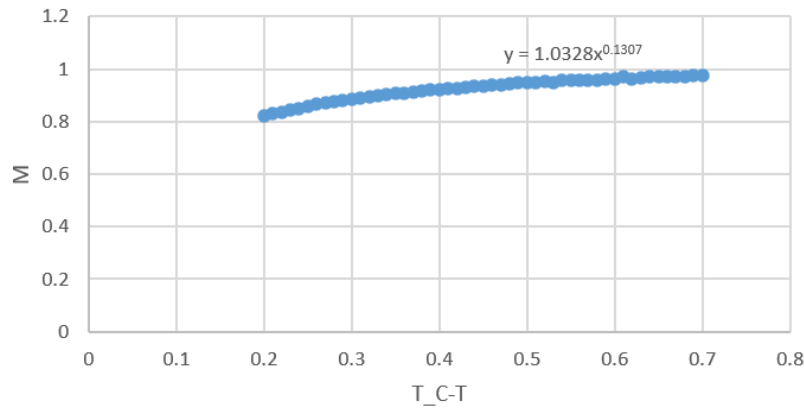
## 2. 在临界温度附近拟合磁化强度 M、磁化率 $\chi$

$$M(T) \sim (T_c - T)^\beta \text{ for } T < T_c$$

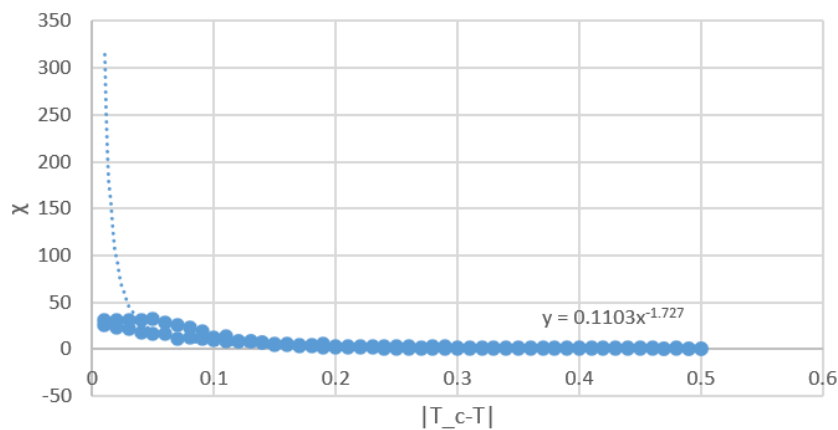
用 L=64 的结果进行拟合, 将  $\chi(T) \sim |T - T_c|^{-\gamma}$  代入, 取临界温度  $T_c = 2.27$

拟合结果如图所示 (当温度过分趋近于临界温度时, 即  $T_c - T$  趋近于 0 时, M 趋近于 0,  $\chi$  趋近于正无穷。但在随机模拟中, 由于模型尺寸和迭代次数不能无限, 也不可能完全拟合出  $M=0$  和  $\chi$  无穷大的结果, 因此在拟合中去掉那一部分过分接近于临界温度的温度)

磁化强度拟合



磁化率拟合



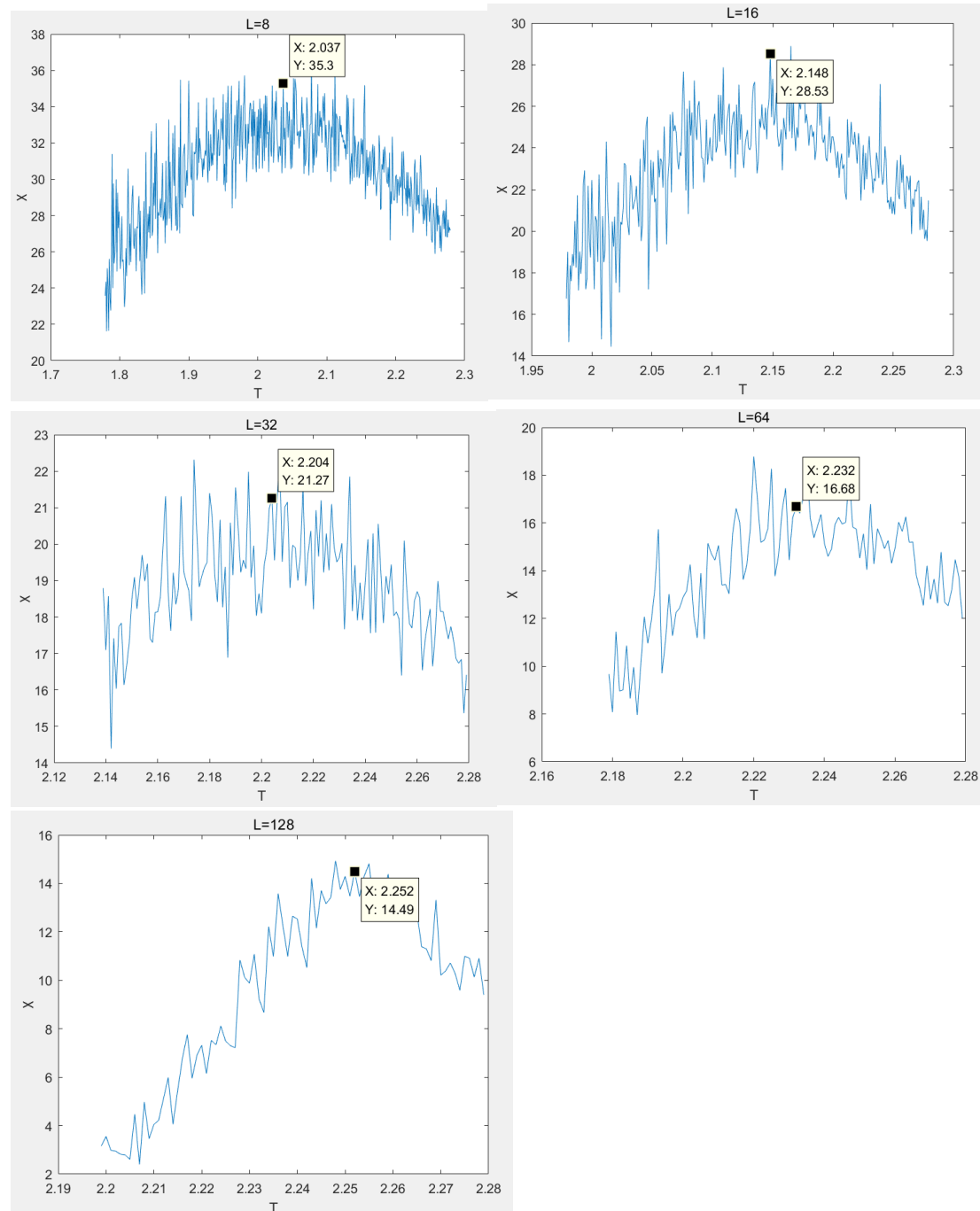
拟合结果为  $\beta=0.1307$ ,  $\gamma=1.727$

与理论值  $\beta=1/8$ ,  $\gamma=7/4$  存在一定误差



### 3. 模型大小与逼近临界温度的关系

首先，对于五个不同尺寸的模型 ( $L=8,16,32,64,128$ )，在临界温度附近对于磁化率 $\chi$ 做更精细步长更短的模拟，找出使得磁化率 $\chi$ 达到最大所对应的温度 $T_{max}$ ， $T_{max}$ 应该略小于 $T_C$ （这个差值是由于模型尺寸有限，在相变点附近，关联长度 $\xi=|T-T_C|^{-\nu}$ 。对于尺寸越大的模型，这个差值应该越小），模拟结果如下



由于步长很小，磁化率 $\chi$ 的绝对大小又很大，因此此处图像相对看起来波动较大，手动选取模拟结果弧顶处对应的温度值 $T_{max}$ （而非实际磁化率 $\chi$ 最大对应的 $T$ 值，可能是模拟误差导致的细微偏移）（同理，后面要取的 $\chi(T_{max})$ 也是手动估计）

由结果可以外推出，当  $L$  趋近于正无穷时， $T_{max}$  会趋近于临界温度 $T_C$ ，即实际情况

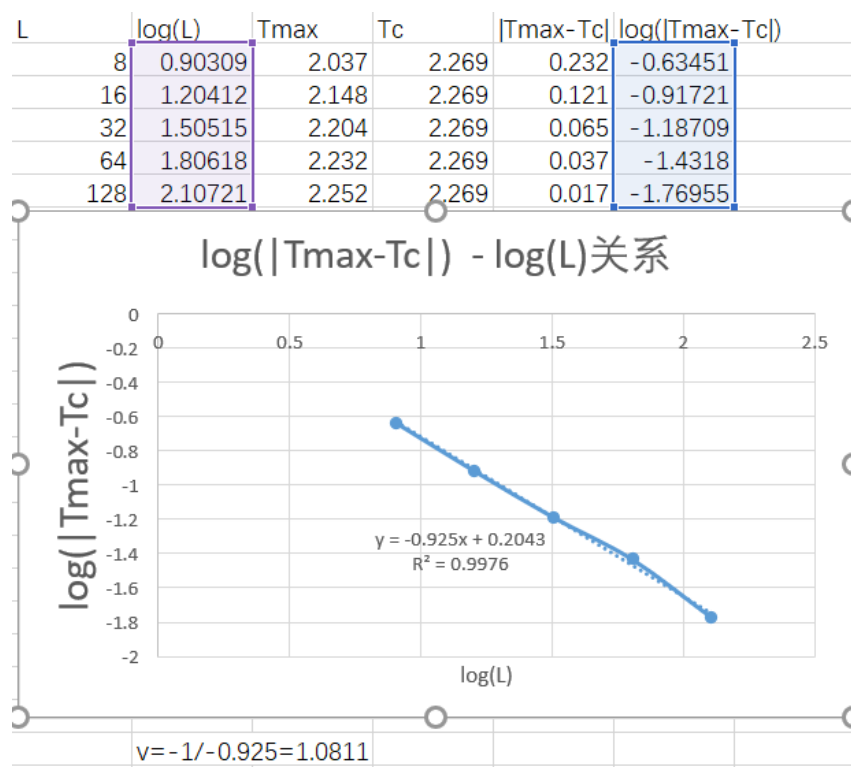
由关系式 $|T_{max} - T_C|^{-\nu} \propto L$ 可推导出

$$|T_{max} - T_C| = Constant * L^{-\frac{1}{\nu}}$$

两边取对数得

$$\log|T_{max} - T_C| = Constant - \frac{1}{\nu} \log(L)$$

取临界温度 $T_c = 2.269$ ，对五组 L 和 $T_{max}$ 进行拟合，结果如图所示



线性性非常良好，计算得到 $\nu = 1.0811$

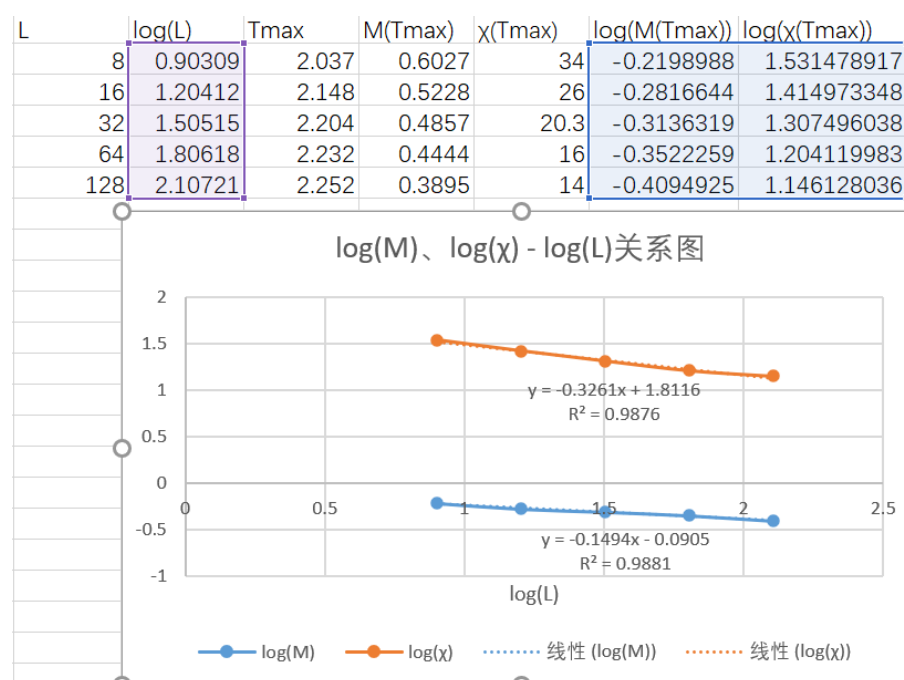
$$M(T) \sim (T_c - T)^\beta \propto L^{-\beta/\nu} \text{ for } T < T_c$$

由关系式  $\chi(T) \sim |T - T_c|^{-\gamma} \propto L^{-\gamma/\nu}$  可以推导出

$$\log(M(T_{max})) = Constant - \frac{\beta}{\nu} \log(L)$$

$$\log(\chi(T_{max})) = Constant - \frac{\gamma}{\nu} \log(L)$$

将 $T_{max}$ 代入结果图得到 $M(T_{max})$ ，根据图像手动估测 $\chi(T_{max})$ ，并将其与 L 拟合，结果如下



$-\frac{\beta}{\nu} = -0.1494$ ， $-\frac{\gamma}{\nu} = 0.3261$ ，代入 $\nu = 1.0811$ ，得到 $\beta=0.1615$ ，误差较小， $\gamma=0.3525$  误差较大，原因有待进一步探索。